

# V-15 有明粘土の三軸異方性について

九州大学 正会員 内田 一郎  
学生員 李 昌基  
学生員 ○山田 淳二

## 1. はじめに

現在、地盤のせん断破壊に対する安定計算は、地盤を等方的であるものとして、鉛直方向のせん断強度により行なわれている。しかし、実際には、安定計算で安全率が1.0以上であっても破壊するエビが少なくない。この原因のひとつに、地盤強度がその方向によって変化していること、すなわち、土の強度異方性があげられる。従来の研究においても粘性土に異方性があることはすでに知られている。本報告では、不搅乱の有明粘土について間隔圧測定の非圧密非排水三軸試験(UTU 試験)を行ない、強度及び圧縮変形における異方性を調べた。さらに、その実験結果を用いて、現在行なわれている方法と異方性を考慮した方法とで想定斜面の安定計算を行ない異方性が安全率に及ぼす影響について検討した。

## 2. 試料と試験方法

試料の不搅乱粘土は、佐賀大理工学部構内において、地下約3mの有明粘土に塩化ビニール管(直径10.6cm、長さ25cm、厚さ3.2mm)を押し込み採取した。その物理的性質は、 $G_s = 2.56$ ,  $w_L = 89.6\%$ ,  $w_p = 43.9\%$ であった。採取した試料は、1.0 kN/cm<sup>2</sup>, 2.0 kN/cm<sup>2</sup>, 4.0 kN/cm<sup>2</sup>の荷重で各々14日, 21日, 28日間圧密した。実際の降伏応力は、1.14 kN/cm<sup>2</sup>, 2.12 kN/cm<sup>2</sup>, 4.25 kN/cm<sup>2</sup>であり、たが、以下それを $P_y = 1.0 \text{ kN/cm}^2$ ,  $P_y = 2.0 \text{ kN/cm}^2$ ,  $P_y = 4.0 \text{ kN/cm}^2$ と呼ぶことにする。供試体は、その軸と水平方向のひずみ角が $0^\circ$ ,  $30^\circ$ ,  $60^\circ$ ,  $90^\circ$ となるように切り出し、成形した。直径は3.5cm、長さは7.5cmである。

試験方法は、標準三軸圧縮試験機を用いて非圧密非排水状態で実施し、各供試体に対して側圧 $\sigma_3$ を0.5 kN/cm<sup>2</sup>, 1.0 kN/cm<sup>2</sup>, 1.5 kN/cm<sup>2</sup>, 2.0 kN/cm<sup>2</sup>とした。また圧縮速度は約0.2%/minとし、供試体下部においてストレーンゲージ型圧力変換器を用いて間隔圧を測定した。

## 3. 試験結果と考察

表-1に試験結果の強度定数( $C$ ,  $\phi$ )を示す。 $P_y = 1.0 \text{ kN/cm}^2$ の $C$ ,  $\phi$ は割愛した。定数( $C$ ,  $\phi$ )は、最大軸差応力時( $\epsilon = \text{Peak}$ )および軸比 $\epsilon$ で $\epsilon = 7.0\%$ の場合について最小自乗法により求めた。 $C$ ,  $\phi$ と $\theta$ の関係については、ほとんどの傾向はつかめがたいが、全体的には $90^\circ \sim 60^\circ$ の場合が $0^\circ \sim 30^\circ$ の場合よりも $C$ ,  $\phi$ とも大きめの値を示している。

図-1は、側圧 $\sigma_3$ が1.0 kN/cm<sup>2</sup>の場合の最大圧縮応力( $\sigma_1 - \sigma_3$ )<sub>f</sub>と切り出しひずみ角 $\theta$ の関係の一例であるが、 $(\sigma_1 - \sigma_3)_f$ は $90^\circ$ でいちばん大きく、以下 $60^\circ$ ,  $30^\circ$ の順に小さくなっている。他の $\sigma_3$ においても、99%のバラツキはあるが同様の傾向を示し、 $C$ ,  $\phi$ ではあまり明確にあらわれなかつた $\theta$ の影響をかなりほつきりつかむことができる。軸比 $\epsilon = 7.0\%$ 時の圧縮応力( $\sigma_1 - \sigma_3$ )<sub>f</sub>は、各 $P_y$ , 各 $\sigma_3$ とも $0^\circ$ ,  $30^\circ$ ,  $60^\circ$ ,  $90^\circ$ の順に大きかった。

$P_y$	$\epsilon$	$\theta$	$C$	$\phi$
4.0 kN/cm <sup>2</sup>	Peak	90°	1.074 kN/cm <sup>2</sup>	3°02'
		60°	0.766	5°57'
		30°	0.780	4°06'
		0°	0.833	4°06'
7.0 %	Peak	90°	1.055	3°18'
		60°	0.763	5°52'
		30°	0.748	4°33'
		0°	0.769	3°29'
2.0 kN/cm <sup>2</sup>	Peak	90°	0.460	4°47'
		60°	0.468	3°55'
		30°	0.422	3°58'
		0°	0.466	3°43'
7.0 %	Peak	90°	0.456	5°00'
		60°	0.435	4°36'
		30°	0.411	3°31'
		0°	0.398	3°03'

表-1

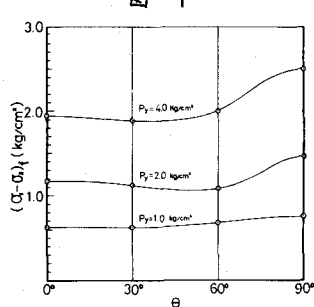


図-1

また図-2は  $P_y = 4.0 \text{ kN/cm}^2$ ,  $\sigma_3 = 1.0 \text{ kN/cm}^2$ における各切り出し角度の応力-ひずみ曲線を示したものであるが、角度によってPeakの応力がちがつていて  $90^\circ, 60^\circ, 30^\circ, 0^\circ$  の順にPeak時のひずみは大きくなる。すなわち、 $90^\circ$ は5~7%で最大軸差応力を示すが、 $0^\circ$ ではその約2倍の13~15%でPeakがある。この傾向は圧密時の荷重が大きい場合ほどあきりてくる。

#### 4. 斜面の安定計算と考察

安定計算は短期安定の場合を考え、面ケキ压を考慮しない簡便分割法を用いた。想定した斜面形状、破壊面を図-3に示す。上載荷重は  $P_y = 4.0 \text{ kN/cm}^2$  に相当する地盤では  $\gamma = 4.0 \text{ kN/cm}^3$ ,  $P_y = 2.0 \text{ kN/cm}^2$  では  $\gamma = 1.5 \text{ kN/cm}^3$ とした。安定解析は試験結果を考慮して次の3つおりについて行った。

##### ①現在行なわれている方法

$\theta = 90^\circ$  の供試体における最大圧縮強度より求めた  $C, \phi$  を使用する。

##### ②強度要方性を考慮した方法

各角度の供試体における最大圧縮強度より求めた  $C, \phi$  を使用する。

##### ③強度要方性およびひずみ要方性を考慮した方法

各角度の供試体における軸ひずみを  $\epsilon = 7\%$  時の圧縮強度より求めた  $C, \phi$  を使用する。ここで  $\epsilon = 7\%$  時の圧縮強度からの  $C, \phi$  を用いるのが  $\theta = 90^\circ$  の供試体からは  $\epsilon = 7\%$  で最大圧縮強度をとるためにある。

要方性を考慮した方法においては、各供試体のせん断面が水平方向に対して  $60^\circ$  の角度をもつとして、破壊面を図-3のようになしに区分し、それぞれの  $C, \phi$  を使用した。

安定計算の結果を表-2に示す。強度要方性を考慮した場合の安全率は考慮しない場合より小さい値を示し、ひずみ要方性をも考慮した場合はさらに小さくなっている。 $P_y = 4.0 \text{ kN/cm}^2$  では 0.2,  $P_y = 2.0 \text{ kN/cm}^2$  では 0.1 減少しているが、安全率の低下は圧密荷重が大きくなるほど著しいと言えよう。

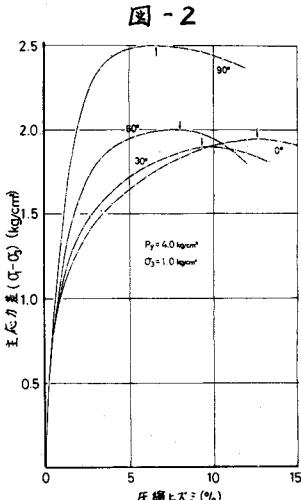


図-2

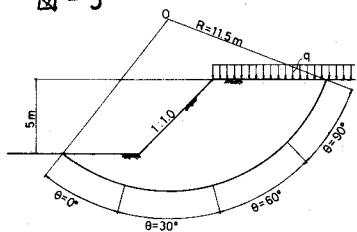


表-2

	使用した値	$F_s$
$P_y$ $4.0 \text{ kN/cm}^2$	$E = \text{Peak } \theta = 90^\circ \text{ } \& C, \phi$	1.17
	$E = \text{Peak } \theta = C, \phi$	1.01
	$E = 7\% \text{ } \& C, \phi$	0.98
$P_y$ $2.0 \text{ kN/cm}^2$	$E = \text{Peak } \theta = 90^\circ \text{ } \& C, \phi$	1.19
	$E = \text{Peak } \theta = C, \phi$	1.15
	$E = 7\% \text{ } \& C, \phi$	1.09

#### 5. おわりに

現在斜面の安定計算における安全率の基準値は 1.25~1.30 などとされているが、要方性を考慮した場合、実際の安全率は基準値よりも小さくなり 1.0 に近づく。本報告においては供試体の数が少ないなどのために  $C, \phi$  の要方性が明確に示せなかったことを考慮すると、安全率はさらに小さくなることが予想され、要方性を導入した安定解析が望まれる。最後に本報告に際し数多くの助言をいただいた本校博士課程の林重徳氏に対しまして深謝の意を表します。

#### 参考文献

林重徳：「土の応力・変形特性について」 昭和48.49年度土木学会西部支部研究発表会論文集

K.Y. LO : "Stability of Slopes in Anisotropic Soils" ASCE Vol. 91, No. SM4, 1965